



PROVINCIA DI FERMO

SETTORE VIABILITÀ - INFRASTRUTTURE - URBANISTICA

COMUNE DI MONTEFALCONE APPENNINO

LAVORI DI AMMODERNAMENTO ED AMPLIAMENTO
DELLA S.P. 238 VALDASO (EX S.S. 433) - SECONDO
STRALCIO DAL BIVIO CON LA S.P. 183 FAVETO AL
BIVIO CON LA STRADA VICINALE CANUTICA

PROGETTO ESECUTIVO

Ufficio Tecnico Servizio Viabilità
PROGETTISTI:

ing. Giuseppe Laureti

ing. Stefano Massetani

Consulenze Esterne

Assistenza alla progettazione

ing. Donato Pescatore

Assistenza alla progettazione strutturale

ing. Omero Bassotti

Coordinatore per la sicurezza in fase di progettazione

ing. Maurizio Ciarrocchi

RESPONSABILE DEL PROCEDIMENTO: ing. Ivano Pignoloni

VERIFICHE DI STABILITA' TRA LE SEZIONI 140 - 150

B.7

maggio 2011

1. INTRODUZIONE

Con convenzione n. 114/08 Registro atti privati del Servizio Viabilità del 17/01/2008, la **Provincia di Ascoli Piceno** ha affidato al **Dipartimento di Fisica ed Ingegneria dei Materiali e del Territorio dell'università Politecnica delle Marche** un incarico per la consulenza specialistica e di assistenza alla progettazione geotecnica per il progetto definitivo di **“Ammodernamento ed ampliamento della S.P. n. 238 ex S.S. 433 Valdaso - 2° stralcio**: dal bivio con la s.p. n. 183 Faveto al bivio con la s.v. Canutica.

Nel presente elaborato vengono svolte analisi e considerazioni di carattere tecnico-costruttivo e la verifica geotecnica dei manufatti stradali previsti tra le sezioni **140 e 150** del progetto esecutivo di ammodernamento della **SP 238 ex SS 433 Valdaso**, tenendo conto delle problematiche per l'inserimento territoriale della nuova infrastruttura viaria.

Il presente elaborato tiene conto dei risultati della campagna di indagini eseguita dalla Labortec s.r.l. su incarico della Provincia di Ascoli Piceno in data 20-09-2007, sulla base dei quali sono state stabilite le condizioni geotecniche di progetto per una serie di specifiche situazioni.

2. NORMATIVA TECNICA

La presente analisi di progetto è stata sviluppata con il quadro normativo coerente con il vecchio D.M. 16.:1.1996, tenendo conto di quanto è stato in aggiunta stabilito con l'emanazione dell'Ordinanza O.P.C.M. 3274 del 2003 (Verifica Statica in TE) e sulla base delle NTC 2008 in base al nuovo D.M. 14.01.2008 e s.m.i. (Verifica Sismica in TE).

In particolare risultano adottati i seguenti riferimenti normativi per i diversi aspetti della progettazione:

- a) Legge 02-02-1974 n.64 “Provvedimenti per le costruzioni con particolari prescrizioni per le zone sismiche.”,
- b) D.M. Min. LL.PP. 16-01-1996 “Norme tecniche per le costruzioni in zone sismiche.”,
- c) Circolare Min. LL.PP. 10-04-1997 n.65 “Istruzioni per l'applicazione delle Norme tecniche per le costruzioni in zone sismiche di cui al D.M. Min. LL.PP. 16-01-1996.”,
- d) D.M. Min. LL.PP. 11-03-1988 “Norme tecniche riguardanti le indagini sui terreni e sulle rocce, la stabilità dei pendii naturali e delle scarpate, i criteri generali, le prescrizioni per la progettazione, l'esecuzione ed il collaudo delle opere di sostegno delle terre e delle opere di fondazione.”,
- e) Circolare Min. LL.PP. 24-09-1988 n.30483 “Legge 02-02-1974 n.64, art.1 – D.M. Min. LL.PP. 11-03-1988. Istruzioni riguardanti le indagini sui terreni e sulle rocce, la stabilità dei pendii naturali e delle scarpate, i criteri generali le prescrizioni per la progettazione, l'esecuzione ed il collaudo delle opere di sostegno delle terre e delle opere di fondazione.”,
- f) Circolare Min. LL.PP. 09-01-1996 n.218 “Legge 02-02-1974 n.64 – D.M. Min. LL.PP. 11.03.1988. Istruzioni applicative per la redazione della relazione geologica e della relazione geotecnica.”
- g) OPCM n°3274 20-03-2003 “Primi elementi in materia di criteri generali per la classificazione sismica del territorio nazionale e normative tecniche per le costruzioni in zona sismica”.

3. DOCUMENTI DI RIFERIMENTO

- a) Progetto esecutivo “S.P. 238 Ex SS 433 Valdaso, 2° Stralcio;
- b) LABORTEC C.S.M. s.r.l.: “Indagine geologica e geotecnica su S.P. Val D'Aso 2° stralcio”. 2-09-2007.
- c) Progetto definitivo per l'Ammodernamento e ampliamento della s.p. n. 238 ex SS 422 Valdaso – 2° stralcio . Relazione Geologica.

I campioni analizzati in laboratorio dal punto di vista meccanico e mineralogico hanno permesso di differenziare le coltri eluvio-colluviali in due distinti litotipi:

o LIMI MARRONI

o LIMI GRIGI

Riferendo i campioni analizzati al litotipo corrispondente, è pertanto possibile distinguere i parametri geotecnici dei due materiali nel modo seguente:

LIMI MARRONI

γ_t (kN/m ³)	20
ϕ^* (°)	27
c' (kPa)	5
k_o (-)	1-sen ϕ
E' (MPa)	6 (carico)
E' (MPa)	15 (scarico)
E_u (MPa)	8 (carico)

LIMI GRIGI

γ_t (kN/m ³)	20
ϕ^* (°)	25
c' (kPa)	20
k_o (-)	1-sen ϕ (nc) ÷ 1 (OC)
E' (MPa)	10 (carico)
E' (MPa)	25 (scarico)
E_u (MPa)	12 (carico)

In aggiunta ai materiali precedenti, in corrispondenza della galleria Montefalcone, il tracciato interessa una conoide riconducibile ad una paleofrana, le cui caratteristiche meccaniche possono essere stabilite solo sulla base della classificazione dei terreni, così come sono state riconosciute a seguito della loro osservazione diretta nel corso della campagna di indagine e dall'assetto naturale del deposito:

CONOIDE

γ_t (kN/m ³)	19.5
ϕ^* (°)	40
c' (kPa)	0
k_o (-)	1-sen ϕ (nc) ÷ 1(oc)
E' (MPa)	30

Rilevati

Lungo il tracciato stradale sono previsti in progetto numerosi tratti in rilevato. Per ciascuna sezione da analizzare si è ricostruito il modello geotecnico di sottosuolo e definito uno schema sintetico di calcolo per verificare stabilità e funzionalità dell'infrastruttura stradale, tratto per tratto.

La sezione critica oggetto di valutazione nel presente elaborato è la seguente:

Sez.	Progressiva	Altezza max	Tipo rilevato	Tipo di terreno in sup.
140	1+380	6÷7.00 m.	rilevato	Limi marroni

6. VERIFICA DI STABILITA' SEZIONE DI PROGETTO 140

Condizione Statica TE

Nelle elaborazioni seguenti (**tavola 01**) si illustrano i risultati della verifica di stabilità in condizioni statiche e tensioni efficaci della sezione di progetto **140**, considerando un sovraccarico stradale supplementare pari a **20kN**, una saturazione completa dei limi marroni superficiali.

Sono state analizzate movimentazioni fino al dettaglio di **0.10m**.

L'elaborazione secondo il metodo di Bishop ha fornito un valore minimo in corrispondenza del lato Sud del rilevato stradale pari a **1.34** superiore al Fs minimo dalle indicazioni A.G.I. di 1.3.

La safety map inoltre cromatica individua graficamente le fasce con Fs crescente dalla tonalità del rosso fino all'azzurro, evidenziando la stabilità complessiva dell'opera in condizioni statiche.

Condizione Sismica TE

Nelle elaborazioni seguenti (**tavola 02**) si illustrano i risultati della verifica di stabilità in condizioni sismiche e tensioni efficaci della sezione di progetto **140**, considerando un sovraccarico stradale supplementare pari a **10kN**, una saturazione completa dei limi marroni superficiali ed i parametri sismici in relazione alla tipologia di intervento e quindi alla classe d'uso, alle condizioni topografiche e stratigrafiche del sito.

Nel dettaglio sono stati inseriti i seguenti parametri sismici:

$$kh=0.038 \text{ e } kv=0.019 \text{ allo SLO}$$

Sono state analizzate movimentazioni fino al dettaglio di **0.10m**.

L'elaborazione secondo il metodo di Bishop ha fornito un valore minimo in corrispondenza del lato Sud del rilevato stradale pari a **1.23** inferiore al Fs minimo dalle indicazioni A.G.I. di 1.3.

Tale carenza del Fs è localizzata solo su una porzione superficiale del rilevato sul suo lato Sud, con spessori ridotti di terreno interessato non superiori a 0.3m. Tale insufficienza rispetto al valore di riferimento A.G.I. è sanabile attraverso una revisione locale della geometria sul lato Sud come la previsione di gradonature o gabbionate. La stabilità complessiva dell'opera è confermata dai valori calcolati e dalla safety map cromatica. Non si evidenzia quindi la necessità di inserire opere strutturali quali paratie al fine di garantire la stabilità delle opere in progetto.

La safety map inoltre cromatica individua graficamente le fasce con Fs crescente dalla tonalità del rosso fino all'azzurro, evidenziando la stabilità complessiva dell'opera in condizioni sismiche.

Si allegano di seguito le tavole grafiche delle verifiche di stabilità 01 e 02 e i dettagli di calcolo dei due casi derivanti dall'elaborazione del software GEOSLOPE 2007.

TAVOLA 01 - VERIFICA STATICÀ TENSIONI EFFICACI

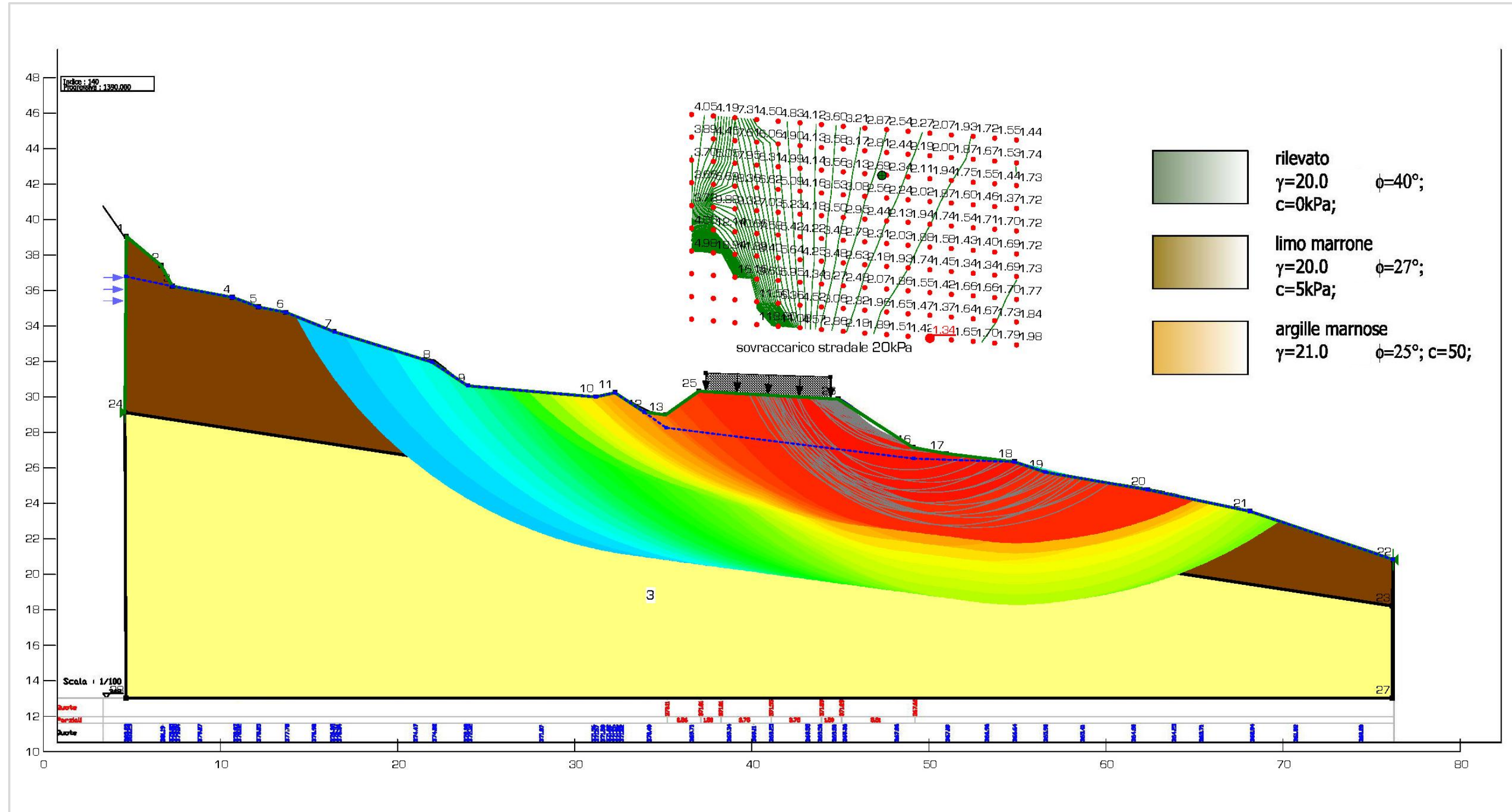
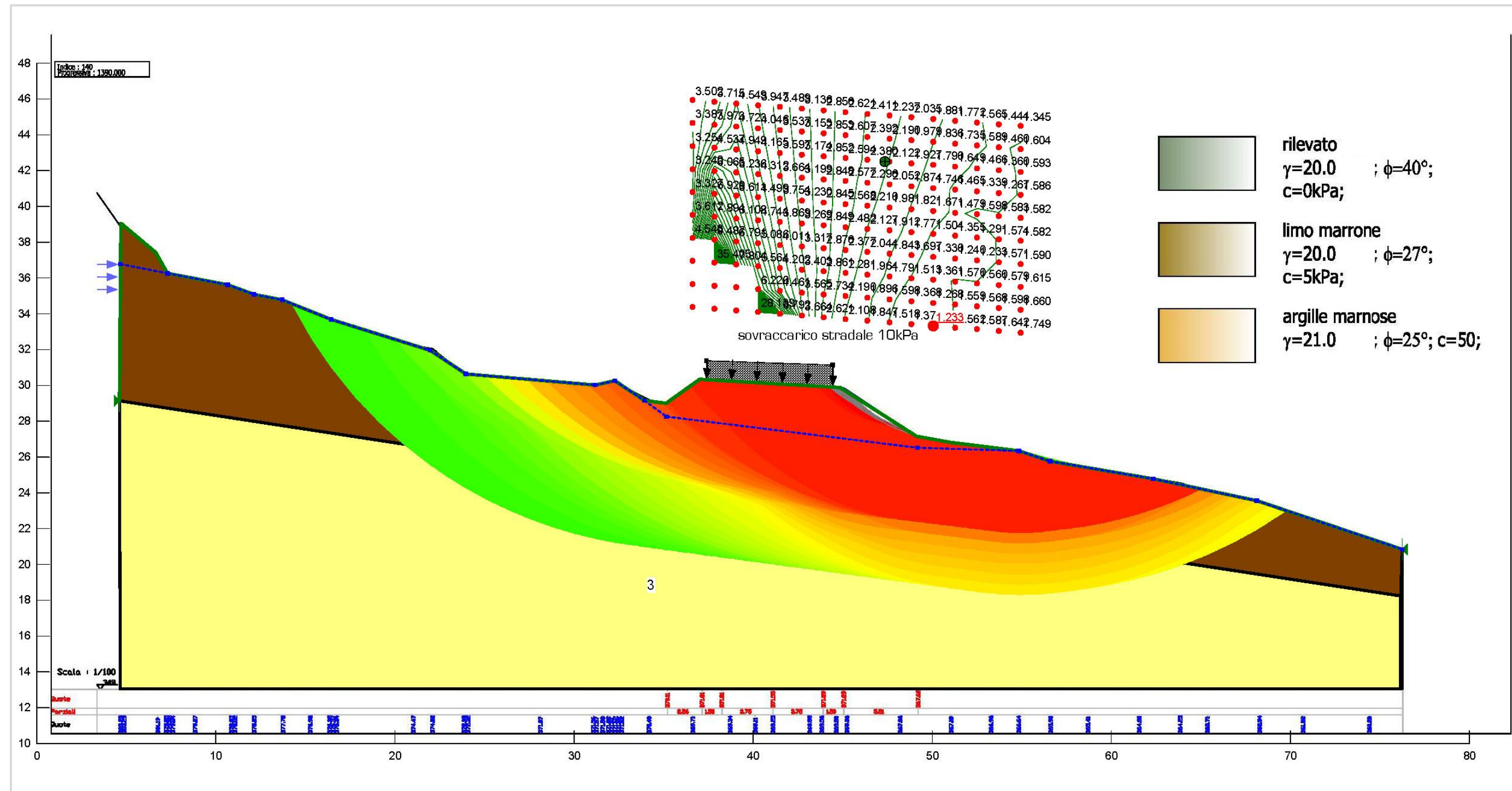


TAVOLA 02 - VERIFICA SISMICA TENSIONI EFFICACI



01 - VERIFICA STATICÀ TENSIONI EFFICACI

SLOPE/W

Report generated using GeoStudio 2007, version 7.17. Copyright © 1991-2010 GEO-SLOPE International Ltd.

File Information

Revision Number: 0
Date: 08/12/2010
Time: 14.16.42
File Name: verifica-stabilità statica TE.gsz
Directory: C:\Users\Alessandro\Desktop\verifica stabilità valdoso lotto 2\
Last Solved Date: 12/8/2010
Last Solved Time: 2:16:54 PM

Project Settings

Length(L) Units: meters
Time(t) Units: Seconds
Force(F) Units: kN
Pressure(p) Units: kPa
Strength Units: kPa
Unit Weight of Water: 9.807 kN/m³
View: 2D

Analysis Settings

SLOPE/W

Kind: SLOPE/W
Method: Bishop, Ordinary and Janbu
Settings
 Apply Phreatic Correction: Yes
 PWP Conditions Source: Piezometric Line
 Use Staged Rapid Drawdown: No
Slip Surface
 Direction of movement: Left to Right
 Use Passive Mode: No
 Slip Surface Option: Grid and Radius
 Critical slip surfaces saved: 100
 Optimize Critical Slip Surface Location: No
 Tension Crack
 Tension Crack Option: [none]
FOS Distribution
 FOS Calculation Option: Constant
Advanced
 Number of Slices: 30
 Optimization Tolerance: 0.01
 Minimum Slip Surface Depth: 0.15 m
 Optimization Maximum Iterations: 2000
 Optimization Convergence Tolerance: 1e-007
 Starting Optimization Points: 8
 Ending Optimization Points: 16
 Complete Passes per Insertion: 1
 Driving Side Maximum Convex Angle: 5 °
 Resisting Side Maximum Convex Angle: 1 °

Materials

RILEVATO STRADALE

Model: Mohr-Coulomb
Unit Weight: 20 kN/m³
Cohesion: 0 kPa

Phi: 40 °
Phi-B: 0 °

LIMO MARRONE

Model: Mohr-Coulomb
Unit Weight: 20 kN/m³
Cohesion: 5 kPa
Phi: 27 °
Phi-B: 0 °
Pore Water Pressure
Piezometric Line: 1

ARGILLE MARNOSE

Model: Mohr-Coulomb
Unit Weight: 21 kN/m³
Cohesion: 50 kPa
Phi: 25 °
Phi-B: 0 °

Slip Surface Grid

Upper Left: [36.617552, 45.929327] m
Lower Left: [36.617552, 34.373771] m
Lower Right: [54.950886, 32.929327] m
Grid Horizontal Increment: 15
Grid Vertical Increment: 9
Left Projection Angle: 0 °
Right Projection Angle: 0 °

Slip Surface Radius

Upper Left Coordinate: [21.973493, 31.956744] m
Upper Right Coordinate: [59.210145, 28.26266] m
Lower Left Coordinate: [20.987923, 22.707105] m
Lower Right Coordinate: [58.02496, 17.707105] m
Number of Increments: 18
Left Projection: No
Left Projection Angle: 0 °
Right Projection: No
Right Projection Angle: 0 °

Slip Surface Limits

Left Coordinate: [4.621607, 29.136707] m
Right Coordinate: [76.235707, 20.825019] m

Piezometric Lines

Piezometric Line 1

Coordinates

	X [m]	Y [m]
	4.671081	36.780492
	7.298168	36.242458
	10.674791	35.619082
	12.155311	35.073627
	13.713752	34.761939
	16.441025	33.67103
	21.973493	31.956744
	23.973493	30.632069

	31.194272	30.008692
	32.285181	30.242458
	33.921545	29.151549
	35.16975	28.260009
	49.163711	26.51561
	54.842701	26.34117
	56.587101	25.759703
	62.34362	24.77121
	68.119521	23.55013
	76.235707	20.825019

Surcharge Loads

SurchARGE LOAD 1

SurchARGE (Unit Weight): 20 kN/m³

Direction: Normal

Coordinates

	X (m)	Y (m)
	37.398354	31.363052
	44.448446	31.140417

Regions

	Material	Points	Area (m ²)
Region 1	LIMO MARRONE	1,2,3,4,5,6,7,8,9,10,11,12,13,14,15,16,17,18,19,20,21,22,23,24	353.05468
Region 2	RILEVATO STRADALE	13,25,26,16,15,14	30.312853
Region 3	ARGILLE MARNOSE	24,23,27,28	761.45498

Points

	X (m)	Y (m)
Point 1	4.700765	39.047653
Point 2	6.648817	37.411289
Point 3	7.298168	36.242458
Point 4	10.674791	35.619082
Point 5	12.155311	35.073627
Point 6	13.713752	34.761939
Point 7	16.441025	33.67103
Point 8	21.973493	31.956744
Point 9	23.973493	30.632069
Point 10	31.194272	30.008692
Point 11	32.285181	30.242458
Point 12	33.921545	29.151549
Point 13	35.142324	28.995705
Point 14	35.16975	28.260009
Point 15	49.163711	26.51561

Point 16	49.124947	27.155223
Point 17	51.005022	26.806343
Point 18	54.842701	26.34117
Point 19	56.587101	25.759703
Point 20	62.34362	24.77121
Point 21	68.119521	23.55013
Point 22	76.235707	20.825019
Point 23	76.161495	18.227616
Point 24	4.621607	29.136707
Point 25	37.027296	30.324091
Point 26	44.868978	29.878822
Point 27	76.161495	13.032811
Point 28	4.671081	13.032811

Critical Slip Surfaces

	Slip Surface	FOS	Center [m]	Radius [m]	Entry [m]	Exit [m]
1	213	1.34	[50.062, 33.315]	5.838	[45.9049, 29.2159]	[48.0818, 27.8228]
2	1164	1.34	[52.506, 36.974]	10.308	[45.3018, 29.6019]	[48.8306, 27.3436]
3	1144	1.34	[51.284, 37.07]	9.701	[44.7673, 29.8846]	[47.7456, 28.0379]
4	517	1.37	[50.062, 34.598]	7.115	[44.7311, 29.8866]	[48.2415, 27.7206]
5	2095	1.37	[53.729, 40.729]	14.172	[44.5931, 29.8945]	[48.493, 27.5596]
6	1468	1.40	[52.506, 38.258]	11.585	[44.4839, 29.9007]	[49.0571, 27.1986]
7	821	1.42	[50.062, 35.882]	8.392	[44.1578, 29.9192]	[48.3125, 27.6752]
8	194	1.42	[48.84, 33.411]	5.806	[44.2032, 29.9166]	[48.3955, 27.6221]
9	1448	1.43	[51.284, 38.354]	10.978	[44.266, 29.9131]	[47.9872, 27.8833]
10	2399	1.44	[53.729, 42.013]	15.449	[44.1129, 29.9218]	[48.7719, 27.3812]
11	3026	1.44	[54.951, 44.485]	18.037	[44.3263, 29.9096]	[48.1482, 27.7803]
12	1124	1.45	[50.062, 37.166]	9.098	[44.5945, 29.8944]	[46.6785, 28.7208]
13	2075	1.46	[52.506, 40.826]	13.563	[44.4671, 29.9016]	[47.3952, 28.2622]
14	497	1.47	[48.84, 34.695]	6.514	[44.4259, 29.904]	[47.1912, 28.3927]
15	174	1.51	[47.618, 33.507]	5.207	[43.8257, 29.9381]	[47.3234, 28.3081]
16	498	1.51	[48.84, 34.695]	7.083	[43.5794, 29.9521]	[48.3886, 27.6264]
17	1125	1.53	[50.062,	9.669	[43.6281,	[48.3512,

			33.315)		30.0052)	26.4034)
44	866	1.66	[52.506, 35.69]	12.484	[41.3552, 30.0783)	[59.3934, 25.2778)
45	522	1.66	[50.062, 34.598]	9.969	[41.1709, 30.0888)	[55.3759, 26.1634)
46	238	1.66	[51.284, 33.218]	9.311	[42.5427, 30.0109)	[56.8075, 25.7219)
47	197	1.67	[48.84, 33.411]	7.512	[42.129, 30.0344)	[52.1506, 26.6675)
48	867	1.67	[52.506, 35.69]	13.059	[40.6971, 30.1157)	[60.2014, 25.1391)
49	524	1.67	[50.062, 34.598]	11.111	[39.8751, 30.1624)	[56.7563, 25.7307)
50	1170	1.67	[52.506, 36.974)	13.759	[40.575, 30.1226)	[59.6739, 25.2296)
51	200	1.67	[48.84, 33.411]	9.218	[40.22, 30.1428)	[54.7668, 26.3504)
52	563	1.67	[52.506, 34.406]	11.784	[41.5501, 30.0673)	[59.86, 25.1977)
53	221	1.67	[50.062, 33.315]	10.407	[40.1489, 30.1468)	[57.1214, 25.668)
54	2683	1.67	[52.506, 43.394)	16.117	[43.6163, 29.95)	[47.8721, 27.957)
55	175	1.67	[47.618, 33.507]	5.774	[43.0445, 29.9824)	[48.1788, 27.7607)
56	848	1.67	[51.284, 35.786]	13.007	[39.5463, 30.1811)	[59.0343, 25.3395)
57	2056	1.67	[51.284, 40.922)	13.531	[43.3437, 29.9654)	[48.2009, 27.7466)
58	802	1.68	[48.84, 35.979]	8.36	[43.0132, 29.9842)	[48.3803, 27.6317)
59	1171	1.68	[52.506, 36.974)	14.333	[39.8955, 30.1612)	[60.5136, 25.0855)
60	1429	1.68	[50.062, 38.45)	10.945	[43.1328, 29.9774)	[48.374, 27.6358)
61	562	1.68	[52.506, 34.406)	11.209	[42.1868, 30.0311)	[59.0849, 25.3308)
62	1150	1.68	[51.284, 37.07)	13.137	[40.1184, 30.1486)	[57.6484, 25.5775)
63	241	1.68	[51.284, 33.218]	11.032	[40.698, 30.1157)	[59.0099, 25.3437)
64	1151	1.68	[51.284, 37.07)	13.71	[39.4272, 30.1878)	[58.523, 25.4273)
65	564	1.68	[52.506, 34.406)	12.36	[40.9201, 30.1031)	[60.6054, 25.0697)
66	1169	1.68	[52.506, 36.974)	13.184	[41.2669, 30.0834)	[58.7864, 25.3821)
67	868	1.68	[52.506, 35.69)	13.634	[40.0476, 30.1526)	[60.9763, 25.006)
68	1474	1.68	[52.506, 38.258)	15.033	[39.8374, 30.1645)	[59.9309, 25.1855)
69	545	1.68	[51.284,	12.306	[39.7666,	[59.4236,

			34.502]		30.1685]	25.2726)
70	499	1.69	[48.84, 34.695]	7.651	[42.8011, 29.9962]	[49.5494, 27.0765)
71	845	1.69	[51.284, 35.786]	11.289	[41.5511, 30.0672]	[56.5168, 25.7831)
72	541	1.69	[51.284, 34.502]	10.013	[42.3284, 30.0231]	[56.3217, 25.8482)
73	865	1.69	[52.506, 35.69]	11.908	[42.0235, 30.0404]	[58.5415, 25.4241)
74	827	1.69	[50.062, 35.882]	11.815	[39.7186, 30.1713]	[56.3078, 25.8528)
75	525	1.69	[50.062, 34.598]	11.682	[39.2408, 30.1984]	[57.512, 25.6009)
76	1190	1.69	[53.729, 36.877]	14.385	[41.0428, 30.0961]	[61.674, 24.8862)
77	1494	1.69	[53.729, 38.161]	15.659	[40.2802, 30.1394]	[61.9563, 24.8377)
78	1475	1.69	[52.506, 38.258]	15.608	[39.1365, 30.2043]	[60.801, 25.0361)
79	1172	1.69	[52.506, 36.974]	14.908	[39.2263, 30.1992]	[61.3169, 24.9475)
80	1473	1.69	[52.506, 38.258]	14.459	[40.5525, 30.1239]	[59.0093, 25.3438)
81	521	1.69	[50.062, 34.598]	9.398	[41.8369, 30.051]	[54.6036, 26.3701)
82	1191	1.70	[53.729, 36.877]	14.962	[40.3725, 30.1341]	[62.4805, 24.7423)
83	503	1.70	[48.84, 34.695]	9.925	[40.0138, 30.1545]	[54.3007, 26.4069)
84	828	1.70	[50.062, 35.882]	12.386	[39.0519, 30.2091]	[57.0781, 25.6754)
85	1152	1.70	[51.284, 37.07]	14.282	[38.7485, 30.2264]	[59.352, 25.2849)
86	1493	1.70	[53.729, 38.161]	15.082	[40.9818, 30.0995]	[61.0748, 24.9891)
87	826	1.70	[50.062, 35.882]	11.245	[40.3983, 30.1327]	[55.5921, 26.0914)
88	502	1.70	[48.84, 34.695]	9.357	[40.6794, 30.1167]	[53.3877, 26.5175)
89	849	1.70	[51.284, 35.786]	13.58	[38.8981, 30.2179]	[59.8004, 25.2079)
90	259	1.70	[52.506, 33.122]	10.509	[42.4667, 30.0152]	[59.4833, 25.2624)
91	216	1.70	[50.062, 33.315]	7.551	[43.2923, 29.9684]	[53.3594, 26.521)
92	260	1.70	[52.506, 33.122]	11.085	[41.8554, 30.0499]	[60.1983, 25.1396)
93	887	1.70	[53.729, 35.594]	13.688	[41.1975, 30.0873]	[62.1513, 24.8042)
94	1495	1.70	[53.729, 38.161]	16.236	[39.5904, 30.1786]	[62.7763, 24.6797)
95	1798	1.70	[53.729,	16.934	[39.5539,	[62.2176,

21	2399	47.2888	27.970865	0	5.6763141	4.7629931
22	2399	47.444915	27.900315	0	5.2451904	4.4012374
23	2399	47.60103	27.83183	0	4.7751935	4.0068631
24	2399	47.75715	27.765385	0	4.2662431	3.579803
25	2399	47.91327	27.70095	0	3.71828	3.1200074
26	2399	48.069385	27.6385	0	3.1310998	2.6273047
27	2399	48.2255	27.57801	0	2.5045742	2.1015873
28	2399	48.38162	27.519455	0	1.8386655	1.5428235
29	2399	48.53774	27.46281	0	1.1330544	0.95074554
30	2399	48.693855	27.408055	0	0.3876791	0.32530139

02 - VERIFICA SISMICA TENSIONI EFFICACI

SLOPE/W

Report generated using GeoStudio 2007, version 7.17. Copyright © 1991-2010 GEO-SLOPE International Ltd.

File Information

Revision Number: 0
Date: 08/12/2010
Time: 14.20.22
File Name: verifica-stabilità statica TE sismica.gsz
Directory: C:\Users\Alessandro\Desktop\verifica stabilità valdoso lotto 2\
Last Solved Date: 12/8/2010
Last Solved Time: 2:20:34 PM

Project Settings

Length(L) Units: meters
Time(t) Units: Seconds
Force(F) Units: kN
Pressure(p) Units: kPa
Strength Units: kPa
Unit Weight of Water: 9.807 kN/m³
View: 2D

Analysis Settings

SLOPE/W

Kind: SLOPE/W
Method: Bishop, Ordinary and Janbu
Settings
 Apply Phreatic Correction: Yes
 PWP Conditions Source: Piezometric Line
 Use Staged Rapid Drawdown: No
Slip Surface
 Direction of movement: Left to Right
 Use Passive Mode: No
 Slip Surface Option: Grid and Radius
 Critical slip surfaces saved: 100
 Optimize Critical Slip Surface Location: No
 Tension Crack
 Tension Crack Option: [none]

FOS Distribution

 FOS Calculation Option: Constant

Advanced

 Number of Slices: 30
 Optimization Tolerance: 0.01
 Minimum Slip Surface Depth: 0.15 m
 Optimization Maximum Iterations: 2000
 Optimization Convergence Tolerance: 1e-007
 Starting Optimization Points: 8
 Ending Optimization Points: 16
 Complete Passes per Insertion: 1
 Driving Side Maximum Convex Angle: 5 °
 Resisting Side Maximum Convex Angle: 1 °

Materials

RILEVATO STRADALE

Model: Mohr-Coulomb
Unit Weight: 20 kN/m³
Cohesion: 0 kPa

Phi: **40** °
Phi-B: **0** °

LIMO MARRONE

Model: Mohr-Coulomb
Unit Weight: 20 kN/m³
Cohesion: 5 kPa
Phi: 27 °
Phi-B: 0 °
Pore Water Pressure
Piezometric Line: 1

ARGILLE MARNOSE

Model: Mohr-Coulomb
Unit Weight: 21 kN/m³
Cohesion: 50 kPa
Phi: 25 °
Phi-B: 0 °

Slip Surface Grid

Upper Left: [36.617552, 45.929327] m
Lower Left: [36.617552, 34.373771] m
Lower Right: [54.950886, 32.929327] m
Grid Horizontal Increment: 15
Grid Vertical Increment: 9
Left Projection Angle: 0 °
Right Projection Angle: 0 °

Slip Surface Radius

Upper Left Coordinate: [21.973493, 31.956744] m
Upper Right Coordinate: [59.210145, 28.26266] m
Lower Left Coordinate: [20.987923, 22.707105] m
Lower Right Coordinate: [58.02496, 17.707105] m
Number of Increments: 18
Left Projection: No
Left Projection Angle: 0 °
Right Projection: No
Right Projection Angle: 0 °

Slip Surface Limits

Left Coordinate: [4.621607, 29.136707] m
Right Coordinate: [76.235707, 20.825019] m

Piezometric Lines

Piezometric Line 1

Coordinates

	X [m]	Y [m]
	4.671081	36.780492
	7.298168	36.242458
	10.674791	35.619082
	12.155311	35.073627
	13.713752	34.761939
	16.441025	33.67103
	21.973493	31.956744
	23.973493	30.632069

	31.194272	30.008692
	32.285181	30.242458
	33.921545	29.151549
	35.16975	28.260009
	49.163711	26.51561
	54.842701	26.34117
	56.587101	25.759703
	62.34362	24.77121
	68.119521	23.55013
	76.235707	20.825019

Surcharge Loads

Surcharge Load 1

Surcharge (Unit Weight): 10 kN/m³

Direction: Normal

Coordinates

	X [m]	Y [m]
	37.398354	31.363052
	44.448446	31.140417

Seismic Loads

Horz Seismic Load: 0.038

Vert Seismic Load: 0.019

Ignore seismic load in strength: No

Regions

	Material	Points	Area [m ²]
Region 1	LIMO MARRONE	1,2,3,4,5,6,7,8,9,10,11,12,13,14,15,16,17,18,19,20,21,22,23,24	353.05468
Region 2	RILEVATO STRADALE	13,25,26,16,15,14	30.312853
Region 3	ARGILLE MARNOSE	24,23,27,28	761.45498

Points

	X [m]	Y [m]
Point 1	4.700765	39.047653
Point 2	6.648817	37.411289
Point 3	7.298168	36.242458
Point 4	10.674791	35.619082
Point 5	12.155311	35.073627
Point 6	13.713752	34.761939
Point 7	16.441025	33.67103
Point 8	21.973493	31.956744
Point 9	23.973493	30.632069
Point 10	31.194272	30.008692

Point 11	32.285181	30.242458
Point 12	33.921545	29.151549
Point 13	35.142324	28.995705
Point 14	35.16975	28.260009
Point 15	49.163711	26.51561
Point 16	49.124947	27.155223
Point 17	51.005022	26.806343
Point 18	54.842701	26.34117
Point 19	56.587101	25.759703
Point 20	62.34362	24.77121
Point 21	68.119521	23.55013
Point 22	76.235707	20.825019
Point 23	76.161495	18.227616
Point 24	4.621607	29.136707
Point 25	37.027296	30.324091
Point 26	44.868978	29.878822
Point 27	76.161495	13.032811
Point 28	4.671081	13.032811

Critical Slip Surfaces

	Slip Surface	FOS	Center (m)	Radius (m)	Entry (m)	Exit (m)
1	213	1.233	[50.062, 33.315]	5.838	[45.9049, 29.2159]	[48.0818, 27.8228]
2	1164	1.233	[52.506, 36.974]	10.308	[45.3018, 29.6019]	[48.8306, 27.3436]
3	1144	1.240	[51.284, 37.07]	9.701	[44.7673, 29.8846]	[47.7456, 28.0379]
4	2095	1.267	[53.729, 40.729]	14.172	[44.5931, 29.8945]	[48.493, 27.5596]
5	517	1.268	[50.062, 34.598]	7.115	[44.7311, 29.8866]	[48.2415, 27.7206]
6	1468	1.291	[52.506, 38.258]	11.585	[44.4839, 29.9007]	[49.0571, 27.1986]
7	1124	1.330	[50.062, 37.166]	9.098	[44.5945, 29.8944]	[46.6785, 28.7208]
8	2075	1.339	[52.506, 40.826]	13.563	[44.4671, 29.9016]	[47.3952, 28.2622]
9	3026	1.345	[54.951, 44.485]	18.037	[44.3263, 29.9096]	[48.1482, 27.7803]
10	1448	1.355	[51.284, 38.354]	10.978	[44.266, 29.9131]	[47.9872, 27.8833]
11	2399	1.360	[53.729, 42.013]	15.449	[44.1129, 29.9218]	[48.7719, 27.3812]
12	821	1.361	[50.062, 35.882]	8.392	[44.1578, 29.9192]	[48.3125, 27.6752]
13	497	1.368	[48.84, 34.695]	6.514	[44.4259, 29.904]	[47.1912, 28.3927]
14	194	1.375	[48.84, 33.411]	5.806	[44.2032, 29.9166]	[48.3955, 27.6221]

15	3006	1.444	[53.729, 44.581]	17.426	[44.3256, 29.9097]	[47.0385, 28.4904]
16	2703	1.460	[53.729, 43.297]	16.726	[43.6519, 29.9479]	[48.9451, 27.2703]
17	2055	1.465	[51.284, 40.922]	12.959	[44.4653, 29.9017]	[46.3158, 28.9529]
18	2379	1.466	[52.506, 42.11]	14.84	[44.0329, 29.9263]	[47.693, 28.0716]
19	1752	1.479	[51.284, 39.638]	12.254	[43.793, 29.9399]	[48.1179, 27.7997]
20	1125	1.489	[50.062, 37.166]	9.669	[43.6281, 29.9493]	[48.3512, 27.6504]
21	498	1.498	[48.84, 34.695]	7.083	[43.5794, 29.9521]	[48.3886, 27.6264]
22	1428	1.504	[50.062, 38.45]	10.375	[44.1572, 29.9192]	[46.9325, 28.5583]
23	801	1.513	[48.84, 35.979]	7.791	[43.9259, 29.9324]	[47.2587, 28.3496]
24	174	1.518	[47.618, 33.507]	5.207	[43.8257, 29.9381]	[47.3234, 28.3081]
25	195	1.552	[48.84, 33.411]	6.375	[43.4815, 29.9576]	[49.5516, 27.076]
26	543	1.559	[51.284, 34.502]	11.16	[41.0308, 30.0968]	[57.9213, 25.5306]
27	3007	1.560	[53.729, 44.581]	18.002	[43.208, 29.9731]	[49.0651, 27.1935]
28	866	1.560	[52.506, 35.69]	12.484	[41.3552, 30.0783]	[59.3934, 25.2778]
29	518	1.561	[50.062, 34.598]	7.686	[43.9561, 29.9307]	[50.3931, 26.9199]
30	239	1.562	[51.284, 33.218]	9.885	[41.9222, 30.0462]	[57.5715, 25.5907]
31	542	1.563	[51.284, 34.502]	10.587	[41.6746, 30.0602]	[57.1187, 25.6684]
32	867	1.564	[52.506, 35.69]	13.059	[40.6971, 30.1157]	[60.2014, 25.1391]
33	2986	1.565	[52.506, 44.677]	16.82	[44.4692, 29.9015]	[45.9477, 29.1885]
34	1170	1.566	[52.506, 36.974]	13.759	[40.575, 30.1226]	[59.6739, 25.2296]
35	563	1.568	[52.506, 34.406]	11.784	[41.5501, 30.0673]	[59.86, 25.1977]
36	562	1.569	[52.506, 34.406]	11.209	[42.1868, 30.0311]	[59.0849, 25.3308]
37	847	1.570	[51.284, 35.786]	12.435	[40.2034, 30.1438]	[58.2364, 25.4765]
38	1190	1.571	[53.729, 36.877]	14.385	[41.0428, 30.0961]	[61.674, 24.8862]
39	240	1.571	[51.284, 33.218]	10.458	[41.3076, 30.081]	[58.303, 25.4651]
40	1171	1.572	[52.506, 36.974]	14.333	[39.8955, 30.1612]	[60.5136, 25.0855]

41	846	1.572	[51.284, 35.786]	11.862	[40.8709, 30.1058]	[57.397, 25.6206]
42	238	1.573	[51.284, 33.218]	9.311	[42.5427, 30.0109]	[56.8075, 25.7219]
43	544	1.573	[51.284, 34.502]	11.733	[40.3953, 30.1329]	[58.6866, 25.3992]
44	1494	1.574	[53.729, 38.161]	15.659	[40.2802, 30.1394]	[61.9563, 24.8377]
45	219	1.575	[50.062, 33.315]	9.265	[41.3812, 30.0769]	[55.7837, 26.0275]
46	1191	1.577	[53.729, 36.877]	14.962	[40.3725, 30.1341]	[62.4805, 24.7423]
47	1493	1.577	[53.729, 38.161]	15.082	[40.9818, 30.0995]	[61.0748, 24.9891]
48	865	1.578	[52.506, 35.69]	11.908	[42.0235, 30.0404]	[58.5415, 25.4241]
49	1169	1.578	[52.506, 36.974]	13.184	[41.2669, 30.0834]	[58.7864, 25.3821]
50	218	1.579	[50.062, 33.315]	8.694	[42.0079, 30.0413]	[55.125, 26.2471]
51	1189	1.579	[53.729, 36.877]	13.807	[41.7232, 30.0574]	[60.8233, 25.0323]
52	1474	1.579	[52.506, 38.258]	15.033	[39.8374, 30.1645]	[59.9309, 25.1855]
53	886	1.579	[53.729, 35.594]	13.11	[41.8482, 30.0504]	[61.3674, 24.9388]
54	868	1.579	[52.506, 35.69]	13.634	[40.0476, 30.1526]	[60.9763, 25.006]
55	564	1.580	[52.506, 34.406]	12.36	[40.9201, 30.1031]	[60.6054, 25.0697]
56	887	1.581	[53.729, 35.594]	13.688	[41.1975, 30.0873]	[62.1513, 24.8042]
57	1495	1.581	[53.729, 38.161]	16.236	[39.5904, 30.1786]	[62.7763, 24.6797]
58	1818	1.582	[54.951, 39.349]	17.564	[39.9845, 30.1562]	[64.1534, 24.3886]
59	1514	1.582	[54.951, 38.065]	16.29	[40.7335, 30.1137]	[63.8869, 24.4449]
60	1798	1.583	[53.729, 39.445]	16.934	[39.5539, 30.1806]	[62.2176, 24.7929]
61	1817	1.584	[54.951, 39.349]	16.985	[40.6945, 30.1159]	[63.3148, 24.5659]
62	848	1.584	[51.284, 35.786]	13.007	[39.5463, 30.1811]	[59.0343, 25.3395]
63	220	1.584	[50.062, 33.315]	9.836	[40.762, 30.112]	[56.4248, 25.8138]
64	1797	1.585	[53.729, 39.445]	16.357	[40.2764, 30.1396]	[61.3065, 24.9493]
65	1475	1.586	[52.506, 38.258]	15.608	[39.1365, 30.2043]	[60.801, 25.0361]
66	2121	1.586	[54.951, 40.633]	18.26	[39.9961, 30.1555]	[63.5385, 24.5186]

67	2122	1.586	[54.951, 40.633]	18.839	[39.2672, 30.1969]	[64.4011, 24.3362]
68	259	1.587	[52.506, 33.122]	10.509	[42.4667, 30.0152]	[59.4833, 25.2624]
69	1513	1.588	[54.951, 38.065]	15.711	[41.4242, 30.0744]	[63.0731, 24.617]
70	1172	1.588	[52.506, 36.974]	14.908	[39.2263, 30.1992]	[61.3169, 24.9475]
71	2683	1.589	[52.506, 43.394]	16.117	[43.6163, 29.95]	[47.8721, 27.957]
72	1151	1.589	[51.284, 37.07]	13.71	[39.4272, 30.1878]	[58.523, 25.4273]
73	1210	1.590	[54.951, 36.781]	15.016	[41.5191, 30.069]	[63.5987, 24.5059]
74	1473	1.590	[52.506, 38.258]	14.459	[40.5525, 30.1239]	[59.0093, 25.3438]
75	1799	1.590	[53.729, 39.445]	17.511	[38.8448, 30.2209]	[63.0499, 24.6219]
76	1150	1.591	[51.284, 37.07]	13.137	[40.1184, 30.1486]	[57.6484, 25.5775]
77	523	1.591	[50.062, 34.598]	10.54	[40.5179, 30.1259]	[56.0639, 25.9341]
78	561	1.592	[52.506, 34.406]	10.633	[42.8316, 29.9945]	[58.2704, 25.4706]
79	2425	1.593	[54.951, 41.917]	19.535	[39.3253, 30.1936]	[63.7465, 24.4746]
80	2426	1.594	[54.951, 41.917]	20.113	[38.5776, 30.2361]	[64.6322, 24.2874]
81	214	1.594	[50.062, 33.315]	6.409	[44.6435, 29.8916]	[50.4177, 26.9153]
82	241	1.595	[51.284, 33.218]	11.032	[40.698, 30.1157]	[59.0099, 25.3437]
83	545	1.595	[51.284, 34.502]	12.306	[39.7666, 30.1685]	[59.4236, 25.2726]
84	885	1.595	[53.729, 35.594]	12.532	[42.5073, 30.0129]	[60.5488, 25.0794]
85	2102	1.595	[53.729, 40.729]	18.209	[38.8589, 30.2201]	[62.4546, 24.7477]
86	260	1.595	[52.506, 33.122]	11.085	[41.8554, 30.0499]	[60.1983, 25.1396]
87	524	1.596	[50.062, 34.598]	11.111	[39.8751, 30.1624]	[56.7563, 25.7307]
88	541	1.596	[51.284, 34.502]	10.013	[42.3284, 30.0231]	[56.3217, 25.8482]
89	198	1.596	[48.84, 33.411]	8.081	[41.4811, 30.0712]	[53.1114, 26.551]
90	2101	1.597	[53.729, 40.729]	17.632	[39.602, 30.1779]	[61.5211, 24.9125]
91	583	1.598	[53.729, 34.31]	12.413	[42.0737, 30.0375]	[61.7862, 24.8669]
92	1778	1.598	[52.506, 39.542]	16.308	[39.1356, 30.2044]	[60.1677, 25.1449]

93	477	1.598	[47.618, 34.791]	5.918	[44.2663, 29.913]	[46.1537, 29.0567]
94	199	1.599	[48.84, 33.411]	8.65	[40.8457, 30.1073]	[53.9703, 26.4469]
95	217	1.599	[50.062, 33.315]	8.123	[42.6441, 30.0052]	[54.3297, 26.4034]
96	522	1.599	[50.062, 34.598]	9.969	[41.1709, 30.0888]	[55.3759, 26.1634]
97	1476	1.599	[52.506, 38.258]	16.183	[38.4477, 30.2434]	[61.6318, 24.8935]
98	845	1.600	[51.284, 35.786]	11.289	[41.5511, 30.0672]	[56.5168, 25.7831]
99	2120	1.601	[54.951, 40.633]	17.681	[40.7398, 30.1133]	[62.6359, 24.7094]
100	1152	1.601	[51.284, 37.07]	14.282	[38.7485, 30.2264]	[59.352, 25.2849]

Slices of Slip Surface: 213

	Slip Surface	X [m]	Y [m]	PWP [kPa]	Base Normal Stress [kPa]	Frictional Strength [kPa]
1	213	45.941195	29.17972	0	0.16129568	0.13534314
2	213	46.01376	29.10864	0	0.46738196	0.39218003
3	213	46.08632	29.039975	0	0.75143986	0.63053291
4	213	46.15888	28.97361	0	1.0134918	0.8504206
5	213	46.23144	28.90944	0	1.2535358	1.0518414
6	213	46.304	28.84737	0	1.4717804	1.2349704
7	213	46.37656	28.787315	0	1.6680188	1.399634
8	213	46.449125	28.72919	0	1.8423873	1.5459465
9	213	46.52169	28.67293	0	1.9950585	1.6740529
10	213	46.59425	28.61847	0	2.1258931	1.7838361
11	213	46.66681	28.56574	0	2.2349643	1.8753577
12	213	46.73937	28.514685	0	2.3224463	1.9487639
13	213	46.81193	28.465255	0	2.3881482	2.0038943
14	213	46.884495	28.417395	0	2.4321784	2.04084
15	213	46.95706	28.371065	0	2.4546033	2.0596567
16	213	47.02962	28.326225	0	2.4553185	2.0602568
17	213	47.10218	28.282825	0	2.4342718	2.0425966
18	213	47.17474	28.240835	0	2.3915817	2.0067753
19	213	47.2473	28.200225	0	2.3271762	1.9527327
20	213	47.319865	28.160955	0	2.2410242	1.8804426
21	213	47.39243	28.122995	0	2.1330112	1.7898089
22	213	47.46499	28.086315	0	2.0030567	1.6807642
23	213	47.53755	28.05089	0	1.851112	1.5532674
24	213	47.61011	28.0167	0	1.6771603	1.4073046
25	213	47.68267	27.983715	0	1.4809621	1.2426747
26	213	47.75523	27.951915	0	1.2624909	1.0593556
27	213	47.827795	27.92128	0	1.021632	0.85725103
28	213	47.90036	27.89179	0	0.7582171	0.63621969
29	213	47.97292	27.863425	0	0.47209856	0.39613773
30	213	48.04548	27.836165	0	0.16312368	0.13687702

Slices of Slip Surface: 1164

	Slip Surface	X [m]	Y [m]	PWP [kPa]	Base Normal Stress [kPa]	Frictional Strength [kPa]
1	1164	45.360585	29.54528	0	0.23923509	0.20074208
2	1164	45.478215	29.43388	0	0.69324564	0.58170216
3	1164	45.595845	29.325915	0	1.1146174	0.93527508
4	1164	45.713475	29.221235	0	1.503471	1.2615619
5	1164	45.831105	29.11971	0	1.859739	1.5605063
6	1164	45.94873	29.021225	0	2.1835218	1.8321924
7	1164	46.066355	28.925665	0	2.474868	2.0766608
8	1164	46.183985	28.83292	0	2.7338166	2.2939445
9	1164	46.301615	28.742905	0	2.9604336	2.4840988
10	1164	46.419245	28.65553	0	3.154796	2.6471881
11	1164	46.536875	28.57071	0	3.3168412	2.7831602
12	1164	46.654505	28.488365	0	3.4466904	2.8921166
13	1164	46.772135	28.408425	0	3.5442916	2.9740138
14	1164	46.889765	28.33083	0	3.609687	3.0288871
15	1164	47.00739	28.255515	0	3.6429422	3.0567915
16	1164	47.125015	28.182415	0	3.6439742	3.0576574
17	1164	47.242645	28.11148	0	3.6127098	3.0314235
18	1164	47.360275	28.04266	0	3.5492781	2.978198
19	1164	47.477905	27.9759	0	3.4535115	2.8978402
20	1164	47.595535	27.91116	0	3.3253582	2.7903068
21	1164	47.713165	27.848395	0	3.1648228	2.6556016
22	1164	47.830795	27.787565	0	2.9717358	2.4935824
23	1164	47.948425	27.728635	0	2.7460411	2.3042021
24	1164	48.066055	27.671565	0	2.4876443	2.0873814
25	1164	48.18368	27.61632	0	2.1964164	1.8430122
26	1164	48.301305	27.56287	0	1.8721068	1.5708842
27	1164	48.418935	27.511185	0	1.5147294	1.2710089
28	1164	48.536565	27.461235	0	1.1239411	0.94309853
29	1164	48.654195	27.41299	0	0.69969744	0.58711587
30	1164	48.771825	27.366425	0	0.24171087	0.20281951

Slices of Slip Surface: 1144

	Slip Surface	X [m]	Y [m]	PWP [kPa]	Base Normal Stress [kPa]	Frictional Strength [kPa]
1	1144	44.81813	29.839125	0	0.54490548	0.45722999
2	1144	44.918575	29.75052	0	1.2429457	1.0429553
3	1144	45.01777	29.665415	0	1.5356569	1.2885692
4	1144	45.116965	29.582585	0	1.8038572	1.5136159
5	1144	45.21616	29.501965	0	2.0475129	1.7180673
6	1144	45.31536	29.423485	0	2.2667745	1.9020497
7	1144	45.414555	29.347075	0	2.4615854	2.0655154
8	1144	45.51375	29.272675	0	2.6319692	2.2084844
9	1144	45.612945	29.200225	0	2.7779573	2.3309829
10	1144	45.71214	29.129675	0	2.8996522	2.4330971
11	1144	45.811335	29.06098	0	2.9969037	2.5147008
12	1144	45.91053	28.99409	0	3.0699402	2.5759857

13	1144	46.00973	28.928955	0	3.1185594	2.616782
14	1144	46.108925	28.865535	0	3.1429375	2.6372377
15	1144	46.20812	28.80379	0	3.1428765	2.6371865
16	1144	46.307315	28.743685	0	3.1185697	2.6167907
17	1144	46.40651	28.68519	0	3.0698957	2.5759483
18	1144	46.505705	28.628265	0	2.9967794	2.5145965
19	1144	46.6049	28.572875	0	2.8992597	2.4327678
20	1144	46.704095	28.518995	0	2.7772347	2.3303766
21	1144	46.80329	28.4666	0	2.6306307	2.2073613
22	1144	46.90249	28.415655	0	2.4595811	2.0638336
23	1144	47.001685	28.36614	0	2.263799	1.8995529
24	1144	47.10088	28.31803	0	2.043196	1.7144445
25	1144	47.200075	28.2713	0	1.7978905	1.5086092
26	1144	47.29927	28.22593	0	1.5276584	1.2818576
27	1144	47.398465	28.1819	0	1.232294	1.0340175
28	1144	47.49766	28.13919	0	0.91190398	0.76517829
29	1144	47.59686	28.097775	0	0.56620962	0.47510628
30	1144	47.696055	28.057645	0	0.195113	0.16371924

Slices of Slip Surface: 2095

	Slip Surface	X [m]	Y [m]	PWP [kPa]	Base Normal Stress [kPa]	Frictional Strength [kPa]
1	2095	44.66204	29.83707	0	0.70786343	0.59396795
2	2095	44.8	29.72369	0	2.1136084	1.773528
3	2095	44.933695	29.616515	0	2.958254	2.4822699
4	2095	45.063125	29.51529	0	3.2304153	2.7106403
5	2095	45.192555	29.41645	0	3.4738219	2.9148827
6	2095	45.32198	29.31994	0	3.6885682	3.0950762
7	2095	45.451405	29.225695	0	3.8747565	3.2513068
8	2095	45.580835	29.133655	0	4.032253	3.383462
9	2095	45.710265	29.043775	0	4.1612304	3.4916869
10	2095	45.839695	28.95601	0	4.2616762	3.5759709
11	2095	45.969125	28.870305	0	4.3335605	3.636289
12	2095	46.098555	28.786615	0	4.376904	3.6726585
13	2095	46.227985	28.7049	0	4.3917072	3.6850799
14	2095	46.357415	28.62512	0	4.3780173	3.6735927
15	2095	46.486845	28.54724	0	4.335788	3.6381581
16	2095	46.616275	28.47122	0	4.2650063	3.5787652
17	2095	46.745705	28.397025	0	4.165703	3.4954399
18	2095	46.87513	28.32463	0	4.0377249	3.3880535
19	2095	47.004555	28.253995	0	3.8810989	3.2566286
20	2095	47.133985	28.18509	0	3.6957986	3.1011433
21	2095	47.263415	28.117895	0	3.4817637	2.9215467
22	2095	47.392845	28.052375	0	3.2389576	2.7178081
23	2095	47.522275	27.988505	0	2.9672278	2.4897997
24	2095	47.651705	27.926265	0	2.6665829	2.2375287
25	2095	47.781135	27.86563	0	2.3369113	1.9609014
26	2095	47.910565	27.806575	0	1.9781249	1.6598439

27	2095	48.039995	27.749075	0	1.5900783	1.3342341
28	2095	48.169425	27.693115	0	1.1726479	0.9839684
29	2095	48.298855	27.638675	0	0.72579609	0.60901523
30	2095	48.42828	27.585735	0	0.24936639	0.20924325

Slices of Slip Surface: 517

	Slip Surface	X [m]	Y [m]	PWP [kPa]	Base Normal Stress [kPa]	Frictional Strength [kPa]
1	517	44.80005	29.81089	0	0.86305959	0.72419298
2	517	44.927125	29.674495	0	2.0293738	1.7028468
3	517	45.04342	29.55599	0	2.6103343	2.1903306
4	517	45.159715	29.44283	0	3.1424966	2.6368677
5	517	45.276005	29.33467	0	3.6262155	3.0427561
6	517	45.3923	29.23121	0	4.0616721	3.4081475
7	517	45.508595	29.132185	0	4.4492381	3.733354
8	517	45.624885	29.037355	0	4.7890946	4.0185275
9	517	45.741118	28.946505	0	5.0815513	4.2639278
10	517	45.857475	28.85945	0	5.3267724	4.4696927
11	517	45.97377	28.776025	0	5.5251037	4.6361125
12	517	46.090065	28.69607	0	5.6766615	4.7632846
13	517	46.206355	28.619445	0	5.7814964	4.8512515
14	517	46.32265	28.546025	0	5.8399073	4.9002641
15	517	46.438945	28.47569	0	5.8517464	4.9101982
16	517	46.555235	28.40834	0	5.8172759	4.881274
17	517	46.67153	28.34388	0	5.7362624	4.8132957
18	517	46.787825	28.28222	0	5.6088287	4.7063661
19	517	46.90412	28.223275	0	5.4347876	4.5603283
20	517	47.020415	28.166975	0	5.2139771	4.3750463
21	517	47.136705	28.11325	0	4.9463508	4.1504812
22	517	47.253	28.06203	0	4.631484	3.8862765
23	517	47.369295	28.013265	0	4.269273	3.5823454
24	517	47.485585	27.9669	0	3.8592987	3.2383361
25	517	47.60188	27.92288	0	3.4012178	2.8539606
26	517	47.718175	27.88116	0	2.894589	2.4288486
27	517	47.83447	27.8417	0	2.3389573	1.9626182
28	517	47.950765	27.804465	0	1.7337708	1.4548065
29	517	48.067055	27.76941	0	1.078447	0.90492447
30	517	48.18335	27.736505	0	0.3723249	0.31241768

Slices of Slip Surface: 1468

	Slip Surface	X [m]	Y [m]	PWP [kPa]	Base Normal Stress [kPa]	Frictional Strength [kPa]
1	1468	44.54808	29.84001	0	0.72766303	0.61058178
2	1468	44.67644	29.720465	0	2.1727086	1.823119
3	1468	44.8048	29.60448	0	3.6035307	3.0237213
4	1468	44.946535	29.48056	0	4.5739608	3.8380088
5	1468	45.10165	29.34929	0	5.0558358	4.24235
6	1468	45.25677	29.22259	0	5.4857421	4.6030842
7	1468	45.411885	29.100275	0	5.8642523	4.9206919

8	1468	45.567	28.982165	0	6.1907567	5.1946616
9	1468	45.722115	28.8681	0	6.4659711	5.425594
10	1468	45.87723	28.75794	0	6.6898544	5.6134543
11	1468	46.032345	28.65155	0	6.8626067	5.7584108
12	1468	46.18746	28.5488	0	6.984634	5.8608038
13	1468	46.34258	28.44958	0	7.055465	5.9202381
14	1468	46.497695	28.353785	0	7.0753157	5.9368948
15	1468	46.65281	28.261315	0	7.045133	5.9115685
16	1468	46.807925	28.17208	0	6.9632122	5.8428288
17	1468	46.96304	28.08599	0	6.8313133	5.7321525
18	1468	47.11816	28.00297	0	6.6485226	5.5787728
19	1468	47.273275	27.922945	0	6.4145552	5.3824509
20	1468	47.42839	27.845845	0	6.1292354	5.1430392
21	1468	47.583505	27.77161	0	5.7931501	4.8610301
22	1468	47.73862	27.70017	0	5.4056515	4.5358802
23	1468	47.893735	27.631475	0	4.9665496	4.16743
24	1468	48.04885	27.565475	0	4.47573	3.7555834
25	1468	48.20397	27.502115	0	3.9327817	3.2999956
26	1468	48.359085	27.441355	0	3.3374667	2.800467
27	1468	48.5142	27.383145	0	2.6894247	2.2566953
28	1468	48.669315	27.327445	0	1.9882261	1.6683198
29	1468	48.82443	27.27422	0	1.233488	1.0350194
30	1468	48.97955	27.22343	0	0.42477622	0.35642957

Slices of Slip Surface: 1124

	Slip Surface	X [m]	Y [m]	PWP [kPa]	Base Normal Stress [kPa]	Frictional Strength [kPa]
1	1124	44.628785	29.86886	0	0.32907294	0.27612498
2	1124	44.697415	29.81826	0	0.98293033	0.82477647
3	1124	44.76604	29.768645	0	1.6310517	1.3686149
4	1124	44.834665	29.719995	0	2.2731582	1.9074062
5	1124	44.903775	29.67196	0	2.6254601	2.2030226
6	1124	44.97337	29.62453	0	2.6825723	2.2509454
7	1124	45.04297	29.578035	0	2.7265541	2.2878505
8	1124	45.112565	29.532455	0	2.7575185	2.3138328
9	1124	45.18216	29.48778	0	2.775475	2.3289001
10	1124	45.25176	29.44399	0	2.7803267	2.3329711
11	1124	45.321355	29.40107	0	2.7721099	2.3260764
12	1124	45.39095	29.35901	0	2.7509982	2.3083616
13	1124	45.460545	29.317785	0	2.7168089	2.2796734
14	1124	45.53014	29.277395	0	2.669616	2.2400738
15	1124	45.59974	29.237825	0	2.6093807	2.1895304
16	1124	45.669335	29.19905	0	2.5360735	2.1280183
17	1124	45.73893	29.16107	0	2.4498007	2.0556269
18	1124	45.80853	29.123875	0	2.3505527	1.9723479
19	1124	45.878125	29.08745	0	2.238073	1.8779662
20	1124	45.94772	29.051785	0	2.1126222	1.7727005
21	1124	46.017315	29.01687	0	1.9740864	1.6564552

22	1124	46.08691	28.9827	0	1.8224878	1.5292488
23	1124	46.15651	28.94926	0	1.6575962	1.3908883
24	1124	46.226105	28.91654	0	1.4797055	1.2416203
25	1124	46.2957	28.884535	0	1.288533	1.0812076
26	1124	46.365295	28.853235	0	1.0841659	0.9097232
27	1124	46.43489	28.822635	0	0.8665538	0.72712497
28	1124	46.50449	28.792725	0	0.63565164	0.53337506
29	1124	46.574085	28.763495	0	0.39141984	0.32844025
30	1124	46.64368	28.73494	0	0.13382389	0.11229157

Slices of Slip Surface: 2075

	Slip Surface	X [m]	Y [m]	PWP [kPa]	Base Normal Stress [kPa]	Frictional Strength [kPa]
1	2075	44.517305	29.865025	0	0.47499212	0.39856571
2	2075	44.61778	29.792485	0	1.4187245	1.1904512
3	2075	44.71826	29.721325	0	2.3539065	1.9751621
4	2075	44.81874	29.651525	0	3.2806335	2.7527784
5	2075	44.91756	29.584165	0	3.7778356	3.1699805
6	2075	45.01472	29.51918	0	3.8390558	3.2213503
7	2075	45.11188	29.4554	0	3.8832313	3.2584179
8	2075	45.20904	29.3928	0	3.9103363	3.2811618
9	2075	45.3062	29.33136	0	3.9203595	3.2895722
10	2075	45.40336	29.271065	0	3.9133061	3.2836537
11	2075	45.50052	29.211895	0	3.8892825	3.2634955
12	2075	45.59768	29.15383	0	3.8481466	3.2289784
13	2075	45.69484	29.09686	0	3.7900317	3.1802142
14	2075	45.792005	29.04097	0	3.7148223	3.117106
15	2075	45.88917	28.986135	0	3.622497	3.0396359
16	2075	45.98633	28.93235	0	3.5132369	2.9479558
17	2075	46.08349	28.8796	0	3.3868621	2.8419147
18	2075	46.18065	28.827865	0	3.2433894	2.7215269
19	2075	46.27781	28.777135	0	3.0828405	2.5868104
20	2075	46.37497	28.7274	0	2.9052538	2.4377974
21	2075	46.47213	28.678645	0	2.7104902	2.2743713
22	2075	46.56929	28.63086	0	2.4985101	2.0964989
23	2075	46.66645	28.584035	0	2.2694613	1.9043041
24	2075	46.76361	28.538155	0	2.0231405	1.6976165
25	2075	46.86077	28.49321	0	1.759528	1.4764193
26	2075	46.957935	28.44919	0	1.4787064	1.240782
27	2075	47.0551	28.406085	0	1.1805818	0.99062575
28	2075	47.15226	28.36389	0	0.86505455	0.72586696
29	2075	47.24942	28.322595	0	0.53212473	0.44650567
30	2075	47.34658	28.282185	0	0.18175242	0.15250839

Slices of Slip Surface: 3026

	Slip Surface	X [m]	Y [m]	PWP [kPa]	Base Normal Stress [kPa]	Frictional Strength [kPa]
1	3026	44.38736	29.8655	0	9.0961622	7.6325863
2	3026	44.518535	29.771665	0	1.7990656	1.5095953

3	3026	44.65871	29.673265	0	3.0960013	2.5978536
4	3026	44.79889	29.57683	0	4.3803566	3.6755556
5	3026	44.93204	29.486975	0	5.0595107	4.2454335
6	3026	45.058165	29.403485	0	5.1266582	4.301777
7	3026	45.18429	29.3215	0	5.1721265	4.3399294
8	3026	45.310415	29.241	0	5.1959644	4.3599318
9	3026	45.43654	29.16196	0	5.1981862	4.3617961
10	3026	45.562665	29.08436	0	5.1787448	4.3454828
11	3026	45.688795	29.00818	0	5.1376897	4.3110335
12	3026	45.81492	28.93339	0	5.0750823	4.2584997
13	3026	45.941045	28.859975	0	4.9907893	4.1877695
14	3026	46.06717	28.78792	0	4.8848396	4.0988671
15	3026	46.193295	28.717205	0	4.75734	3.9918823
16	3026	46.31942	28.64781	0	4.6082022	3.8667408
17	3026	46.445545	28.579715	0	4.4374201	3.7234376
18	3026	46.57167	28.51291	0	4.2449369	3.561925
19	3026	46.697795	28.447375	0	4.0308362	3.3822731
20	3026	46.82392	28.38309	0	3.7950116	3.1843928
21	3026	46.950045	28.32005	0	3.5374322	2.9682558
22	3026	47.07617	28.258235	0	3.2581489	2.7339116
23	3026	47.202295	28.19763	0	2.9570098	2.4812259
24	3026	47.32842	28.13822	0	2.6340883	2.2102625
25	3026	47.454545	28.079995	0	2.28932	1.9209675
26	3026	47.58067	28.022945	0	1.9226511	1.6132958
27	3026	47.706795	27.967055	0	1.5339619	1.2871469
28	3026	47.832925	27.912315	0	1.1232861	0.94254895
29	3026	47.95905	27.85871	0	0.69058639	0.57947079
30	3026	48.085175	27.80623	0	0.23573652	0.19780643

Slices of Slip Surface: 1448

	Slip Surface	X [m]	Y [m]	PWP [kPa]	Base Normal Stress [kPa]	Frictional Strength [kPa]
1	1448	44.35721	29.83884	0	9.1643435	7.6897972
2	1448	44.518535	29.70976	0	2.6007542	2.1822919
3	1448	44.65871	29.601845	0	4.0159235	3.36976
4	1448	44.79889	29.497465	0	5.4103444	4.539818
5	1448	44.931345	29.401885	0	6.1935701	5.1970224
6	1448	45.05607	29.31466	0	6.354729	5.3322508
7	1448	45.180795	29.22997	0	6.4805664	5.4378409
8	1448	45.305525	29.14775	0	6.5711688	5.5138653
9	1448	45.430255	29.06794	0	6.626647	5.560417
10	1448	45.55498	28.99047	0	6.6469846	5.5774823
11	1448	45.679705	28.91528	0	6.6322486	5.5651173
12	1448	45.804435	28.84232	0	6.5825013	5.5233744
13	1448	45.929165	28.77154	0	6.4978066	5.4523071
14	1448	46.05389	28.70289	0	6.3781435	5.3518979
15	1448	46.178615	28.636325	0	6.2234733	5.2221141
16	1448	46.303345	28.57181	0	6.0337381	5.0629074